# Röntgenspektren (RS)

Klaus Steiniger, Alexander Wagner, Gruppe 850 klaus.steiniger@physik.tu-dresden.de, alexander.wagner@physik.tu-dresden.de Betreuer: Hartmut Stecker Protokoll vom 31. Mai 2009

# **Inhaltsverzeichnis**

1	Einl	eitung	2
	1.1	Aufgabenstellung	2
	1.2	Rontgenstrahlung	
	1.3	Kristallspektrometer	
	1.4	Absorption in Materie	
	1.5	Charakterisierung des Detektors	3
	1.6	Energieau esende Detektoren	
2	Dur	chführung	4
	2.1	Kristallspektrometer	4
	2.2	Durchgang durch Materie	4
	2.3	Charakterisieren des Detektors	
	2.4	Rentgenspektralanalyse mit energieau esenden Detektoren	
3	Mes	sswerte	5
	3.1	Kristallspektrometer	5
	3.2		5
4	Aus	wertung	6
	4.1	Kristallspektrometer	6
	4.2	Durchgang durch Materie	
	4.3	Charakterisierung des Detektors	
	4.4		9

# 1 Einleitung

### 1.1 Aufgabenstellung

Ziel des Versuches ist es, typische Rontgenspektren zu analysieren und damit besser kennenzulernen. Dazu erhielten wir folgende Aufgaben:

- 1. Rontgenspektralanalyse mit einem Kristallspektrometer
- 2. Schwachung der Rontgenstrahlungsintensitat beim Durchgang durch Materie
- 3. Charakterisierung des Detektors
- 4. Rontgenspektralanalyse mit energieau osenden Detektoren

# 1.2 Röntgenstrahlung

Conrad Rontgen entdeckte 1895 diese nach ihm benannte Strahlung, die heute in zwei Typen unterschieden wird. Zum Einen die charakteristische Strahlung, die die Umkehrung des au eren lichtelektrischen E ekts darstellt: Hochenergetische Elektronen tre en auf ein Metall und schlagen andere Elektronen aus kernnahen Schalen heraus, denn bei steigender  $e^-$ -Energie wachst der Wirkungsquerschnitt mit abnehmender Entfernung der Schale zum Kern. So entsteht an dieser Stelle ein Loch, das durch ein Elektron einer hoheren Schale unter Aussendung eines Photons besetzt wird. Dieses Photon besitzt dann eine wohlde nierte Energie, an Hand derer man das Emissionsmaterial identi zieren kann.

Zum Anderen existiert auch eine kontinuierliche Rontgenstrahlung, die Bremsstrahlung, welche bei der Bewegungsanderung der Elektronen auftritt. Logischerweise gibt es für ein dadurch entstandenes Photon eine maximale Energie  $E_{max} = h\nu_{max}$ , namlich wenn das Elektron seine komplette Bewegungsenergie auf dieses eine Photon übertragen hat. Daraus lasst sich das Plancksche Wirkungsquantum h errechnen:

$$h = \frac{E_{max}}{\nu_{max}} = \frac{eU\lambda_{min}}{c} \tag{1.1}$$

#### 1.3 Kristallspektrometer

Ein (perfekter) Einkristall ist dadurch gekennzeichnet, dass seine Atome auf Gitterplatzen liegen, die eine ausnahmslose Translationssymmetrie aufweisen. Dadurch existieren Kristallebenen, an denen Rontgenstrahlen re ektiert werden. Die re ektierten Quanten interferieren genau dann konstruktiv, wenn die folgende Bragg-Bedingung erfullt ist:

$$2d\sin(\vartheta) = n\lambda \tag{1.2}$$

wobei d den Abstand der Kristallebenen,  $\vartheta$  den Glanzwinkel und n die Beugungsordnung darstellt.

Richtet man den Rontgenstrahl also auf einen solchen Einkristall, kann man durch den Beugungswinkel  $\delta=2\vartheta$  den Detektor auf EINE bestimmte Energie einstellen und somit das Spektrum der Rontgenstrahlung aufnehmen. U.A. lasst sich so von einem minimalen Winkel  $\vartheta_{min}$  auf eine minimale Wellenlange  $\lambda_{min}$  und damit auf das Plancksche Wirkungsquantum schlie en (Formel (1.1) und (1.2)).

#### 1.4 Absorption in Materie

Beim Durchgang durch Materie wird die Intensität der Strahlung nach dem exponentiellen Schwachungsgesetz beein usst. Die Photonen werden von den Atomen absorbiert, indem Elektronen herausgeschlagen werden. Je nach Energie des Photons konnen naturlich Elektronen aus verschiedenen Schalen gelöst werden, so kommt es vor, dass höherenergetische Photonen starker absorbiert werden als niederenergetische. Im Absorptionsspektrum treten dann typische Kanten auf, denen man den Bindungsenergien in den jeweiligen Schalen zuordnen kann. Durch geschickte Wahl des Absorbermaterials kann man also bestimmte Photonenergien starker absorbieren als andere.

# 1.5 Charakterisierung des Detektors

Man kann zur Charakterisierung eine Impulshohenanalyse durchfuhren, wobei man bei konstanter Strahlenenergie, d.h. unter festem Winkel, für verschiedene Detektorspannungen verschieden viele Impulse messen kann. Die Halbwertsbreite FWHM gibt uns dann Auskunft über das Energieau osungsvermogen des Detektors und man kann somit Aussagen für den moglichen Einsatz (Verwendungszweck) des Detektors tre en.

### 1.6 Energieauflösende Detektoren

Es gibt Detektoren, welche die Energie der Strahlung auch direkt messen und in entsprechende Kanale einordnen kann. Im Versuch stehen uns hierzu zwei Halbleiter-Detektoren zur Verfügung, zum Einen ein Silizium-Detektor mit Lithium-Dotierung (denn Si ist allein nicht intrinsisch, d.h. ladungstragerfrei), zum Anderen ein Silizium-Drift-Detektor (SDD). Erster ist im Wesentlichen eine in Sperrschicht betriebene Si-Diode. Ein Rontgenquant kann in der Verarmungszone ein Elektron-Loch-Paar (ELP) erzeugen, welches aufgrund des elektrischen Feldes aufgespalten und als Spannungspuls messbar wird. Der SDD besteht aus einem Si-Wafer, auf wessen Ober ache sich ringformige Elektroden be nden. Diese sind so geschalten, dass das elektrische Potential zur Mitte des Wafers abnimmt und somit in der Verarmungsschicht erzeugte ELPs getrennt werden. Im Mittelpunkt be ndet sich hier ein JFET, der den ankommenden Spannungspuls gleich verstarkt.

# 2 Durchführung

Grundeinstellungen der Versuchsapparatur:

1. Blenden im Strahlengang: horizontal auf 0,09 mm, vertikal auf 6 mm

2. Beschleunigungsspannung: 20 kV

3. Strom: 20 mA

# 2.1 Kristallspektrometer

Zuerst erstellen wir eine Übersicht über das gesamte Rontgenspektrum, um nachfolgend interessante Bereiche mit einer hohen Au osung zu vermessen. Wir lassen dazu den Ablenkwinkel  $\delta=2\vartheta$  von 10 bis 70 Grad in 0.05-Grad-Schritten variieren und messen für jeden Winkel eine Sekunde lang die Zählrate. Anschlie end nehmen wir die Spektren um die peaks herum auf mit einer Schrittweite von 0,01° und Zeiten von 1 bis 3 Sekunden pro Schritt (siehe Messwerte). Um  $\lambda_{min}$  zu bestimmen, messen wir zehn Sekunden lang 100 Werte zwischen 17° und 18°.

### 2.2 Durchgang durch Materie

Um die Schwachung der Rontgenstrahlung beim Durchgang durch Materie zu charakterisieren, nehmen wir das Spektrum um die Linien  $K_{\alpha 1}$  und  $K_{\beta 1}$  auf, und vergleichen es anschlie end mit dem Spektrum ohne Absorbermaterial. Die Schwachung kann man durch ein exponentielles Gesetz beschrieben und mittels der experimentellen Daten die Parameter dieser Schwachung, wie z.B die Dicke des Absorbers, bestimmen.

#### 2.3 Charakterisieren des Detektors

Bei festem Winkel nehmen wir unter Variation der Spannung die Anzahl der gemessen Impulse auf. Der Winkel wird hierbei so eingestellt, dass wir uns genau am  $K_{\alpha 1}$  bzw.  $K_{\beta 1}$  -Peak be nden. Daraus konnen wir dann z.B. die FWHM als Ma for die Energieau osung des Detektors ablesen.

# 2.4 Röntgenspektralanalyse mit energieauflösenden Detektoren

Den Bragg-Kristall entfernen wir hierzu aus dem Strahlengang, damit das gesamte Spektrum in den Detektoren gleichzeitig gemessen werden kann. Aus bestimmten Peaks und der Maximalenergie lasst sich der jeweilige Detektor eichen. Auch hier gibt die FWHM wieder Aufschluss uber das Energieau osungsvermogen des jeweiligen Detektors.

#### 3 Messwerte

# 3.1 Kristallspektrometer

Nachfolgend sind in einer Tabelle unsere vermessenen Peaks mit den jeweiligen charakteristischen Werten aufgelistet und es wurde eine Zuordnung zu den von uns vermuteten vorliegenden Übergangen getro en. Die Peaknummer soll hierbei nur die Messung bezeichnen, in welcher alle zugehorigen Peaks aufgenommen wurden. Die Messzeit gilt demnach für alle Peaks der selben Peaknummer, welche übrigens auch im Dateinamen verwendet wurde.

	F1(Y)	G1(Y)	A(X)	B(Y)	C(Y)	D(Y)	E(Y)
Langname	Peak	Messdauer	gemessene Energie	gemessene Intensität	Name	theoretische Energie	Wahrscheinlichkeit
Einheiten		S	keV			keV	
Kommentare							
1	1	2	12,04277	62,83			
2	29° - 32°		11,66208	236,01	W - Lg3	11,6764	0,1419
3			11,59555	149,08	W - Lg2	11,6096	0,0982
4			11,5209	42,16			
5			11,2746	1069,58	W - Lg1	11,2881	0,1568
6	2	3	9,94986	1915,34	W - Lb2	9,9511	0,1666
7	35,5° - 38°		9,80874	487,51	W - Lb3	9,819	0,4463
8			9,66143	4780,42	W - Lb1	9,672	0,8252
9			9,60185	65,46	W - Lb6	9,6129	0,0096
10			9,5152	281,86	W - Lb4	9,525	0,3137
11	3	1	8,967	250,00	Cu - Kb 5	8,974	8E-4
12	39,5° - 46°		8,89454	25875,81	Cu - Kb 1,3	8.9017 ; 8.9039	0,1275
13			8,715	120,00	W - Lnu	8,724	0,018
14			8,3869	16065,12	W - La1	8,398	0,7379
15			8,32515	1634,15	W - La2	8,335	0,0823
16			8,069	1160,00	Cu - Ka' (ionisiert)	8,071	
17			8,03767	140516,66	Cu - Ka1	8,0463	0,5771
18			8,01773	67485,87	Cu - Ka 2	8,0267	0,2943
19	4; 49° - 50°	2	7,37702	249,92	W - LI	7,387	0,0036
20	5	3	6,48063	80,22	Mn - Kb 1,3	6,4918	0,1237
21	56° - 58°		6,39415	170,75	Fe - Ka1	6,4052	0,5803
22			6,38159	70,09	Fe - Ka2	6,392	0,294
23	6	2	5,93712	259,07	Cr Kb1,3	5,9468	0,1228
24	62° - 64°		5,88942	323,84	Mn - Ka1	5,9003	0,5813
25			5,8791	140,78	Mn - Ka2	5,8891	0,2939
26			5,82861	44,18	W - Lg3 n=2	11,6764	0,1419
27	7; 65,5 - 67°	2	5,63506	225,75	W - Lg1 n=2	11,2881	0,1568
28	8	2	5,40597	830,82	Cr - Ka1	5,414	0,5824
29	69° - 70°		5,39725	383,83	Cr - Ka2	5,4052	0,2939
30							
31	Cor	npton-Kante:	8,978				

Tabelle 1: Linien-Identi kation

Rot markierte Werte sollen darauf hinweisen, dass wir hier einen Beugungspeaks der n-ten Stufe vermuten, d.h. dass in der Bragg-Bedingung (1.2) für n der jeweilige Wert eingesetzt wird. Diese Werte wurden beim späteren Fitten nicht berücksichtigt.

# 3.2 Durchgang durch Materie

Mit N als Anzahl der gemessenen Impulse (jeweils ohne oder mit Absorber) ergibt sich folgende Tabelle:

Peak	Energie [keV]	$N_0$	N	$x_0 [\mu m]$	$d$ [ $\mu$ m]
Cu - K <sub>β1</sub>	8,895	27641	626	3,99011	15,14
$W$ - $L_{\alpha 1}$	8,387	17639	227	3,45530	15,03
Cu - $K_{\alpha 1}$	8,038	143590	90458	23,9325	11,06
Cu - K $_{lpha 2}$	8,018	70908	44046	23,7621	11,31

Tabelle 2: Absorption in Materie

Die Materialdicke d wurde hierbei nach folgender Formel berechnet:

$$d = -x_0 \ln(N/N_0)$$

# 4 Auswertung

### 4.1 Kristallspektrometer

Im Nachfolgenden wird das Übersichtsspektrum, bereits über der Energie aufgetragen, dargestellt. Dabei berechnet sich die Energie über die Bragg-Gleichung (1.2) und  $\lambda = \frac{hc}{E}$ .

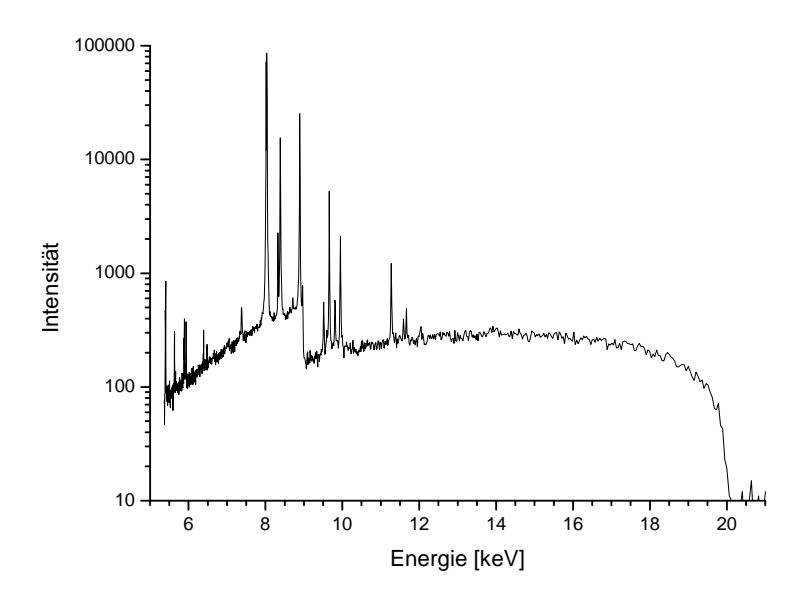


Abbildung 1: Ubersichtsspektrum

Man erkennt deutlich die kurzwellige, bzw. hochenergetische Grenze, welche wir nochmal besser aufgelest und hier dargestellt haben:

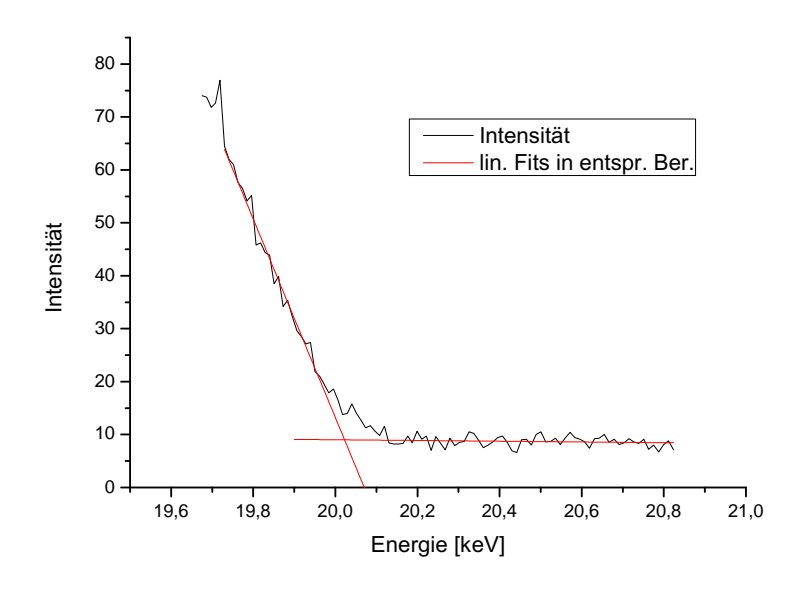


Abbildung 2: Hochenergetische Grenze, zwischen 17 und 18 Grad

Die Maximalenergie folgt als Schnittpunkt aus den Geraden:

$$I_1 = -187,66 \cdot E + 3766,46$$
  
 $I_2 = -0,70 \cdot E + 22,96$   
 $\Rightarrow E_{max} = 20,02 \, keV$ 

Theoretisch musste die Maximalenergie den Wert der Beschleunigungsenergie von 20 keV besitzen, die Abweichungen von diesem Wert sind wahrscheinlich systematischen Fehlern (z.B. Spannungsquelle liefert nicht 100%-ig eingestellten Wert) zuzuschreiben.

Die Zuordnung der einzelnen Linien zu den entsprechenden Übergangen wurde bereits im Bereich Messwerte dargestellt. Au allend oft treten Übergange von Kupfer und Wolfram auf, was auf das Anodenmaterial (Kupfer) schlie en lasst. Die Kathode, welche wahrscheinlich aus Wolfram besteht, emittiert die Elektronen, welche in der Anode abgebremst werden. Die anderen Elemente (Mangan, Eisen, Chrom) sind entweder Verunreinigungen des Kupfers oder des Wolframs oder dienen dort als Schutz (z.B. vor Korrosion, Oxidation).

Aufgrund der tendenziellen Abweichung der praktischen von den theoretischen Energiewerten, haben wir folgende zusatzliche Korrekturgerade erstellt. Die rot markierten Punkte entstehen durch Beugungspeaks heherer Ordnungen und wurden beim Fitten nicht berucksichtigt.

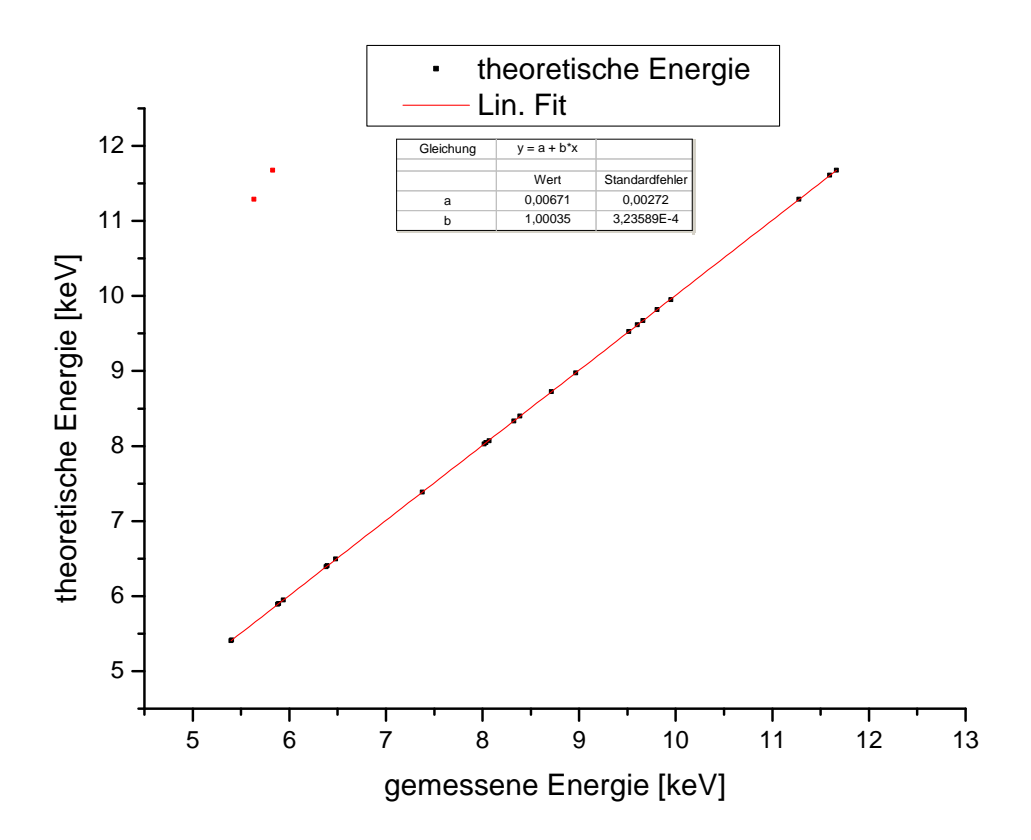


Abbildung 3: Korrekturgerade

Es ergibt sich ein sehr "schener\ linearer Zusammenhang, was auf einen systematischen Fehler im Versuchsaufbau hindeutet, denn die gemessenen Werte weichen alle in die selbe Richtung von den theoretischen ab. Die korrigierte Energie berechnet sich demnach zu:

$$E_{korr} = 1,00035 \cdot E + 0,0067 \text{ keV}$$

# 4.2 Durchgang durch Materie

Dargestellt ist das Spektrum ohne (rot) und mit Absorber (schwarz):

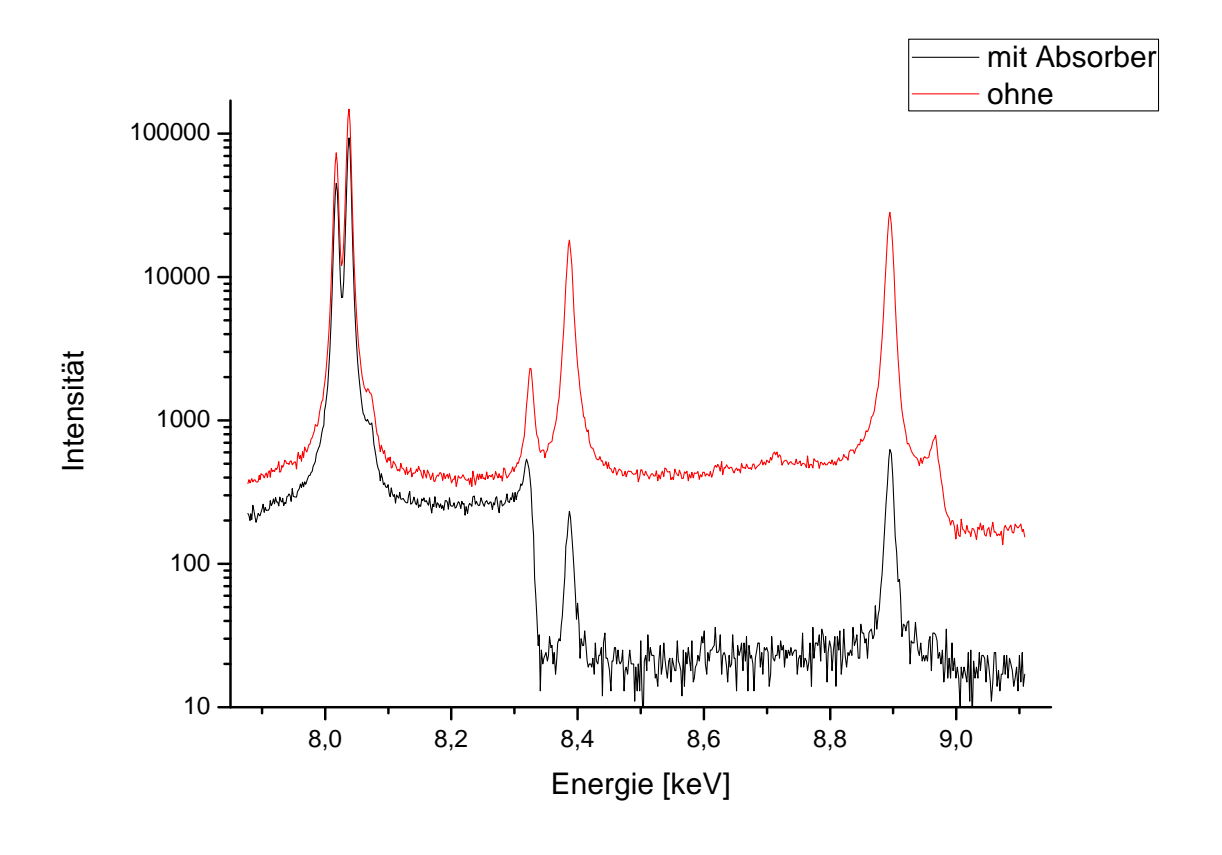


Abbildung 4: Absorption in Materie

Deutlich zu erkennen: Die Absorptionskante bei etwas über 8,3 keV, was einen typischen Wert für das Absorbermaterial darstellt. Die Materialdicke ergibt erstaunlicherweise für verschiedene Linien verschiedene Werte (s. Tabelle 2). Für die Cu-K $_{\alpha1,2}$ -Linien ergibt sich eine Dicke von rund (11,0 bis 11,3)  $\mu$ m, für die Cu-K $_{\beta1}$ - und die W-L $_{\alpha1}$ -Linie ergibt sich rund (15,0 bis 15,1)  $\mu$ m. Selbst erneutes, besser aufgelöstes Messen ergab ein ähnliches Ergebnis, weshalb wir einen groben Messfehler ausschlie en können. Jedoch fällt uns keine su sante Begründung für dieses widersprüchliche Ergebnis ein.

### 4.3 Charakterisierung des Detektors

Hier ist die Detektorcharakteristik f**u**r die Cu-K $_{\alpha 1}$  und Cu-K $_{\beta 1}$  - Linie dargestellt:

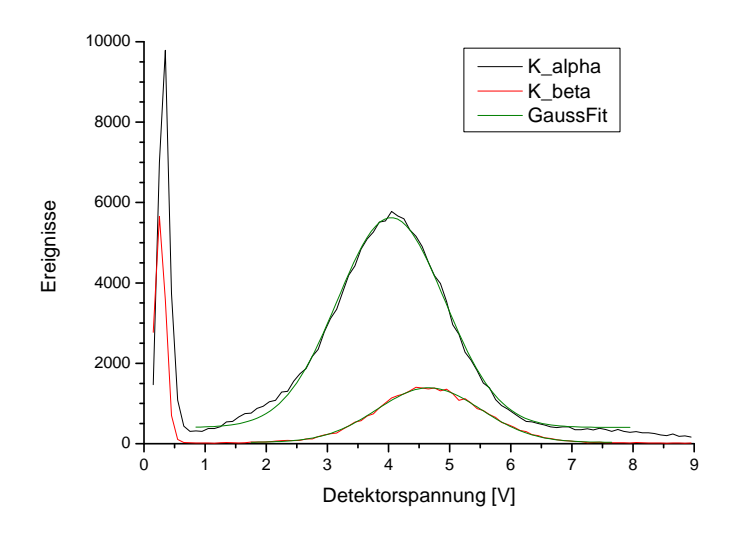


Abbildung 5: Pulshehen von entsprechenden Cu-Linien

Die FWHM betragen je: 2,07 V ( $\alpha$ ) und 1,99 V ( $\beta$ ), obwohl die Maxima nur 0,62 V Di erenz aufweisen. Man konnte die beiden Peaks also nicht mehr au osen, wurde man sie gleichzeitig messen.

# 4.4 Energieauflösende Detektoren

Zuerst haben wir den SiLi-Halbleiterdetektor eingesetzt und damit gemessen. An bekannten Linien (Cu- $K_{\alpha 1}$  und Cu- $K_{\beta 1}$ , Maximalenergie) haben wir den Detektor kalibriert. Es entstand folgende Gra k:

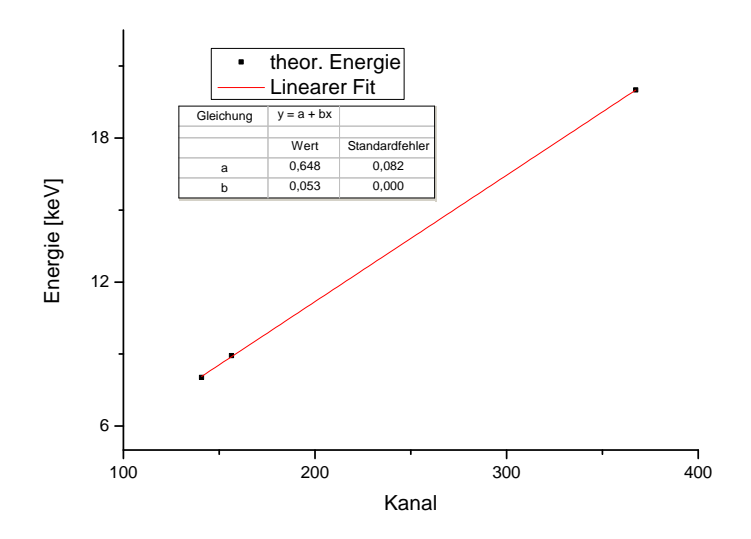


Abbildung 6: Kalibriergerade

Die gemessene Energie berechnet sich aus der Kanalnummer K also wie folgt:

$$E = 0.053 \cdot K + 0.648 \,\text{keV}$$

Den Silizium-Drift-Detektor SDD brauchten wir nicht zu kalibrieren. Insgesamt stellten sich folgende Spektren ein:

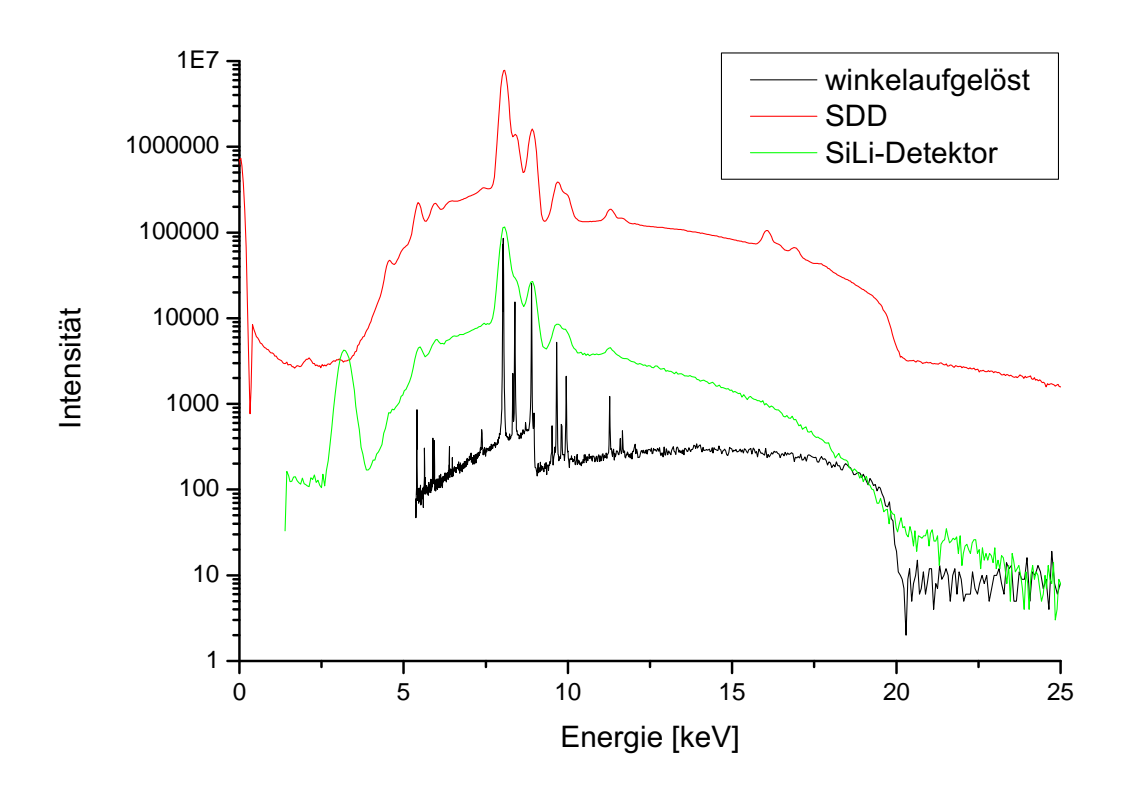


Abbildung 7: Vergleich der verschiedenen Detektoren

Dabei erreicht der SDD eine FWHM der  $K_{\alpha 1}$  - Linie von 0,246 keV und der SiLi-Detektor eine von 0,300 keV. Im Gegensatz dazu lag bei der in 1.) verwendeten Methode unser FWHM bei 0,008 keV, bzw. um die 2 keV wenn man diesen Detektor im energieaufgelesten Modus betreibt.

Der SDD liefert eine bessere Energieau osung und zahlt deutlich mehr Ereignisse als der Si-LiD, was auf eine hohere Emp ndlichkeit schlie en lasst. Dass dieser Detektor ein hoheres Au osungsvermogen besitzt erkennt man bereits mit blo em Auge, genaues Vermessen bestätigt dies.

Man beachte weiterhin die Peaks am Ende des SDD-Spektrums, welche in keinem der andern Spektren auftauchen. Zuruckzufuhren ist das auf die Totzeit des Detektors, in welcher dieser keine Signale separat messen kann und mehrere auftretende Ereignisse als einen Impuls zahlt. Diese zusatzlichen Peaks nennt man dann Summationspeaks, und konnen als Linearkombination aus den wirklich existierenden Peaks gebildet werden.

Au allend am SiLi-Spektrum ist der Peak bei niedrigen Energien, welcher jedoch keine besondere Aussage macht, denn das ist eine Art Nullpeak, welcher einen weiteren Nachteil dieses Detektors darstellt.